

УДК 622.831: 624.131 (043.3)

Васильев Л.М. /д.т.н./, Васильев Д.Л. /к.т.н./, Усов О.А. /к.т.н./

ИГТМ НАН Украины

## Аналитическое построение диаграмм «напряжение – деформация» образцов горных пород при их усеченно – клиновой форме разрушения

*Разработан аналитический метод расчёта предела прочности и построения диаграмм «нормальное напряжение–продольная деформация» при усеченно-клиновой форме разрушения образцов с использованием экспериментальных значений трёх показателей свойств горных пород – предела сопротивляемости сдвигу, коэффициентов внутреннего и внешнего трения. Достоинством метода является его доступность и оперативность получения исходных данных для построения диаграмм «напряжение–продольная деформация» и определения предела прочности горных пород непосредственно в производственных условиях на горных предприятиях. Ил. 2. Библиогр.: 7 назв.*

**Ключевые слова:** горная порода, предел прочности, разрушение, трещина, диаграмма «напряжение–деформация»

*An analytical method for calculating of breaking point and charting «normal stress-longitudinal deformation» at the form of a truncated wedge destruction of samples from the experimental values of the three indicators of the properties of rocks - the limit of shear strength, coefficients of internal and external friction - was developed. The advantage of this method is available and efficiency get the initial data for charting «stress-longitudinal deformation» and determined of breaking point of rock directly under production conditions at the mining enterprises.*

**Keywords:** mountain breed, breaking point, destruction, crack, a diagram is «stress–deformation».

### Постановка проблемы

Одной из важных информационных характеристик, необходимых для осознанного управления напряжённо-деформированным состоянием массива горных пород, является диаграмма «напряжение – продольная деформация» разрушения образцов горных пород.

В 1960-е гг. в бывшем СССР и за рубежом для получения достоверных данных по пределу прочности и запредельным кривым были созданы специальные прессы, оснащённые необходимой аппаратурой регистрации напряжений и перемещений. В бывшем СССР такие прессы имелись в отдельных НИИ (ВНИМИ, ИГТМ НАНУ, ИФГП НАНУ, ИГД им. Скочинского, ИГМОН НАН Киргизстана и др.). Но они требуют высококвалифицированного обслуживания и находятся вдали от горных предприятий, где и как раз нужна оперативная информация о свойствах горных пород. Поэтому имеется необходимость в разработке метода теоретического построения упомянутых диаграмм при знании свойств горных пород, определяемых более простыми способами, доступными для лабораторий производственных предприятий. Известно, что при одноосном сжатии образцов квадратного сечения образуется 5 форм разрушения. Наиболее распространённая из них – усеченно – клиновая.

**Цель работы** - разработать метод построения и построить диаграммы «нормальное напряжение – продольная деформация» для усеченно–клиновой формы разрушения образцов горных пород с использованием показателей свойств горных пород, измерения которых доступны в лабораториях горных предпри-

ятий.

### Анализ публикаций, посвящённых тематике работы

В [1] отражён анализ запредельных кривых на основе условия Кулона-Мора, но без учёта контактного трения. Анализ построен на формальной процедуре оценки характеристик запредельных кривых. Автором рассмотрены частные случаи этих кривых без связи с формами разрушения горных пород. Например, случай идеально хрупкого материала (модуль спада равен бесконечности), когда характеристики совпадают с главными направлениями составляющих тензора напряжений, а так же частный случай при угле внутреннего трения и угле спада, равным нулю.

В [2] предпринята попытка изыскания подхода к построению аналитических запредельных кривых разрушения. Сформулированы условия на границах раздела областей упругого, пластического и запредельного деформирования. Показано, что в задаче о трещине при бесконечном значении модуля спада вместо падения максимального касательного напряжения наблюдается его неограниченный рост. Однако, изложенных положений недостаточно для построения запредельных кривых и диаграмм «напряжение – продольная деформация», тем более при наличии контактного трения. Поэтому нам не пришлось встречать в публикациях автора упомянутые диаграммы в законченном виде.

Построение запредельных кривых предлагается определять по следующей методике. Предполагаем, что в вершине трещины хрупкий материал породы подчиняется закону Гука [3]. По мере развития тре-

щины часть материала выходит из-под нагрузки (рис. 1). При знании значений координат вершины одной или двух трещин в каждый момент их развития можно определить несущую часть материала образца, которая равна первоначальной длине последнего за вычетом части, вышедшей из-под нагрузки. Вышедшая из-под нагрузки часть легко определяется по геометрии линии скольжения (ЛС). При знании предельных средних нагрузок несущей части образца можно определить по закону Гука величину деформации.

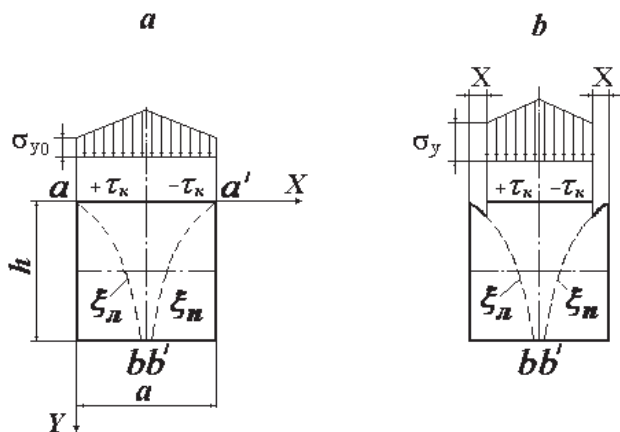


Рис. 1. Схема развития трещин и формирования нормальных контактных нагрузок: а – в исходном положении; б – в момент развития трещин

Математически это можно изобразить в виде простых формул. Запишем текущее значение суммы единичных нормальных напряжений – силу, действующую на контактную поверхность – в виде

$$P = 2 \int_x^{0,5a} \sigma_{y0} \cdot F(x) dx \quad (1)$$

где  $\sigma_{y0}$  – нормальное напряжение, при котором развивается трещина по усеченно-клиновой форме при  $x = 0$ ;  $F(x)$  – функция приращения нормального напряжения на единичной контактной поверхности образца, не вышедшей из-под нагрузки.

Коэффициент, равный двум, означает две симметричные половины образца. Вышедшая из-под нагрузки часть образца определяется по значениям абсциссы вершины трещины как  $x_\xi = n \cdot \Delta h \cdot \text{ctg } \alpha$ , где  $n$  – число слоев по ординате  $y$ ;  $\alpha$  – угол наклона ЛС в вершине трещины относительно оси абсцисс  $x$ ;  $\Delta h$  – высота слоя. Разделив значение силы на длину несущей части, найдем текущее значение среднего давления

$$p = 2 \int_x^{0,5a} \sigma_{y0} \frac{F(x) dx}{a_i} \quad (2)$$

где  $a_i$  – длина единичной несущей части образца.

В свою очередь, продольная деформация по закону Гука является функцией среднего давления  $p$  и модуля упругости  $E$ , т.е.

$$\varepsilon = \frac{p}{E} \quad (3)$$

Используя формулы (2) и (3), можно записать

$$\varepsilon = 2 \int_x^{0,5a} \sigma_{y0} \frac{F(x) dx}{a_i \cdot E} \quad (4)$$

Следовательно, мы получили связь фактического (истинного) удельного давления (напряжения) с деформацией, которая позволяет построить линейную (истинную) диаграмму «нормальное напряжение – продольная деформация».

Теперь, используя эту диаграмму, можно перейти к напряжениям по начальной длине  $a$  для построения общепринятой условной диаграммы. Для построения запредельных кривых по начальной длине следует значение текущего среднего давления уменьшить соответственно соотношению несущей площадки к первоначальной единичной длине. Тогда на основании (4), получим

$$\sigma_c = 2 \int_x^{0,5a} \sigma_{y0} \frac{F(x) dx}{a_i} \cdot S = \varepsilon \cdot E \cdot S \quad (5)$$

где  $S$  – относительная несущая площадка, равная  $\frac{a_i}{a}$ .

С использованием значения продольной деформации  $\varepsilon$  и напряжения  $\sigma_c$  по соотношению (5) осуществляется построение диаграммы «напряжение – продольная деформация». Надо отметить, что формулы (1)–(5) корректируются для каждой формы разрушения.

Следовательно, зная значение напряжения  $\sigma_c$  и продольной деформации в каждый момент положения трещины в образце представляется возможным построение аналитической зависимости  $\sigma_c = \Psi(\varepsilon)$ . Угол наклона запредельной кривой  $\sigma_c = \Psi(\varepsilon)$ , так называемый модуль спада  $M$ , будет определяться модулем упругости, интенсивностью роста  $p$  и относительной несущей длины  $S$  образца.

В качестве примера возьмем усеченно-клиновую форму разрушения (рис. 1), получаемую экспериментально при раздавливании образцов на прессах. Усеченно-клиновое разрушение образцов горных пород характеризуется отсутствием пересечения трещины с вертикальной линией симметрии. Как видно из формулы (5), для расчета нужно иметь расчетные формулы для напряжений в вершине трещины в каждый момент её развития.

Изобразим образец кубической формы, на контактных плоскостях которого приложены касательные напряжения  $\tau_k$  от трения, направленные против деформации. Для верхней части левой половины образца направление  $\tau_k$  со знаком «плюс» принимается против поперечной деформации по контакту образца, для нижней части – со знаком «минус». Для правой половины образца знаки  $\tau_k$  принимаются противоположные. Образец вследствие деформации приобретает выпуклую форму, что позволяет в угловых областях образца учесть правило парности касательных напряжений.

Закономерности распределения нормальных и касательных принимаем по Л. Прандлю [4]: касатель-

ные напряжения принимаются постоянными, а нормальные – линейными. Распределение контактных нормальных напряжений описывается формулой

$$\sigma_{yi} = \sigma_{y_0} \left( 1 + \frac{2f \cdot x}{h} \right) \quad (6)$$

где  $f$  – коэффициент контактного трения;  $h$  – высота образца.

В [5] изложен метод определения напряжения  $\sigma_{y_0}$  и предела прочности применительно к этому распределению. Несколько пояснений относительно метода. Он основан на теории линий скольжения и на критерии эффективных касательных напряжений  $\tau_3$  в вершине трещин согласно Кулону

$$\tau_3 = \tau_a - \mu \sigma_a \quad (7)$$

где  $\tau_a$  и  $\sigma_a$  – активные касательные и нормальные напряжения на наклонной площадке в вершине трещины;  $\mu$  – коэффициент внутреннего трения.

Напряжения  $\tau_a$  и  $\sigma_a$  описываются известными формулами [6]. После исследования на экстремум и соответствующих преобразований по известному правилу Генки получено важное дифференциальное уравнение

$$\frac{d\sigma_a}{d\alpha_{ba}} = 2(k_n + \mu\sigma_a) \quad (8)$$

где  $k_n$  – предел прочности материала сдвигу;  $\alpha$  – угол наклона ЛС  $\zeta$ .

Для решения этого уравнения получены формулы для расчета нормальных напряжений в любой точке на линии скольжения  $\zeta$

$$\sigma_{\alpha_\zeta} = \tau_{xy} \cdot \cos \rho \cdot \sqrt{1 - b_\zeta^2} \quad (9)$$

где  $\rho = \arctg \mu$  – угол внутреннего трения;  $\tau_{xy}$  – касательные напряжения в вершине трещины.

На нижней контактной плоскости в точке  $b$  (рис. 1)

$$\sigma_{\alpha_b} = \sigma_y (1 - \sin \rho \sqrt{1 - b_b^2}) - \tau_\kappa \cdot \cos \rho \sqrt{1 - b_b^2}; \quad (10)$$

$$b_\zeta = \frac{\tau_{xy}}{k_n + \mu\sigma_y}; \quad (11)$$

$$b_b = \frac{\tau_\kappa}{k_b + \mu\sigma_{yb}} \quad (12)$$

где  $\sigma_y$  – нормальное напряжение в вершине трещины;  $\sigma_{yb} = \sigma_y \left( 1 + \frac{2f \cdot x_b}{h} \right)$  – нормальное напряжение в точке  $b$ ;  $x_b$  – абсцисса в точке  $b$ ;  $\tau_\kappa$  – контактное касательное напряжение;  $k_b$  – эффективное касательное напряжение в точке  $b$ .

Напряжение  $k_b$  меньше  $k_n$  до тех пор, пока трещина не выйдет на нижнюю контактную поверхность в точку  $b$ , в которой  $k_b = k_n$ .

Касательное напряжение  $\tau_{xy}$  определяется по принципу линейного затухания от контактных плоскостей. С учетом закона Кулона-Амонтона это на-

пряжение 
$$\tau_{xy} = \tau_\kappa \left( 1 - \frac{2Y}{h} \right) = f\sigma_y \left( 1 - \frac{2Y}{h} \right). \quad (13)$$

Угол наклона ЛС  $\zeta$  определяется по формуле

$$\alpha = \frac{\pi}{4} + \frac{\rho}{2} + \beta_\zeta, \quad (14)$$

где  $\beta_\zeta$  – угол поворота ЛС от контактного трения.

Параметр  $\beta_\zeta$  в любой точке ЛС  $\zeta$  определяется по формуле

$$\beta_\zeta = \frac{1}{2} \arctg \frac{f\sigma_y \cdot \left( 1 - \frac{2Y}{h} \right) \cos \rho}{(k_n + \mu\sigma_y) \left( \sin \rho - \sqrt{1 - b_\zeta^2} \right)}, \quad (15)$$

а  $\beta_b$  на нижней контактной плоскости в точке  $b$  – по формуле

$$\beta_b = -\frac{1}{2} \arctg \frac{f\sigma_{yb} \cdot \cos \rho}{(k_n + \mu\sigma_{yb}) \left( \sin \rho - \sqrt{1 - b_b^2} \right)}. \quad (16)$$

Угол поворота ЛС  $\zeta$  для уравнения (8) определяется по выражению

$$\alpha_b = \beta_b + \beta_\zeta. \quad (17)$$

Используя выражения (9)–(17) при решении дифференциального уравнения (8) и опуская громоздкие преобразования, получим систему уравнений для расчета нормального сжимающего напряжения на линии скольжения  $\zeta$  в образце правильной формы (например, для параллелепипеда)

$$\left\{ \sigma_{y_0} = \frac{1}{\mu} \left[ \frac{k_n (1 + \sin \rho \cdot \sqrt{1 - b_\zeta^2}) \cdot \exp(2\mu(\beta_\zeta + \beta_b))}{1 - \sin \rho \cdot \sqrt{1 - b_\zeta^2}} - k_b \right]; \quad (18) \right.$$

$$\left. k_b = \frac{(k_n + \mu\sigma_y) (1 - \sin \rho \cdot \sqrt{1 - b_b^2})}{(1 + \sin \rho \cdot \sqrt{1 - b_b^2}) \cdot \exp(4\mu\beta_b)}. \quad (19) \right.$$

Уравнения (18) и (19) позволяют определить нормальное напряжение в вершине трещины в динамике ее развития. Условие предельного состояния в вершине трещины является равенство активного касательного напряжения пределу сопротивляемости материала сдвигу, равному сумме сопротивления материала от сцепления и фрикционной составляющей  $\mu\sigma_a$ . Для расчета напряжений разработана программа для ПЭВМ с использованием метода итераций.

Теперь рассмотрим динамику развития трещин (рис. 1). Представим, что развивается одна или две трещины по ЛС  $\zeta$ . Часть материала по мере ее движения уходит из-под нагрузки на величину  $x$ . Тогда несущая площадка образца будет для одной трещины

$$a_1 = a - x,$$

$a$  относительная площадка –

$$S_1 = \frac{a - x}{a}.$$

Для двух трещин

$$a_2 = a - 2x,$$

$$S_2 = \frac{a - 2x}{a} \quad (20)$$

Как только возникла одна трещина, она сразу же вызывает симметрично вторую. С выходом трещин из-под нагрузки происходит и изменение распределения контактной нагрузки и среднего давления на образец. Среднее давление согласно схеме (рис. 1б) и выражению (6) определяется по формуле

$$p = \frac{2\sigma_y}{a - 2x_\xi} \int_0^L \left( 1 + \frac{2f \cdot L}{h} \right) dL = \frac{\sigma_y}{0,5 - x_\xi} \left( 0,5 - x + \frac{f \cdot (0,5a - x_\xi)^2}{h} \right) \quad (21)$$

где  $L = 0,5a - x_\xi$ .

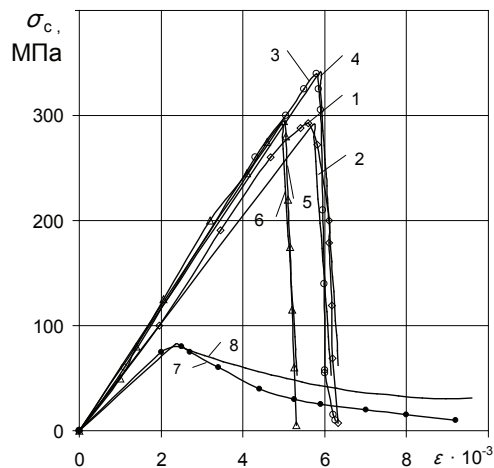
Теперь по формулам (1-5) с использованием выражения (21) можно построить запредельные кривые условной диаграммы «нормальное напряжение–продольная деформация» при различных значениях коэффициентов внешнего и внутреннего трения. Для этого принимаем условие соответствия деформации напряжению по закону Гука в вершине трещины согласно выражению (3). Умножая согласно уравнению (5) выражение (21) на значение относительной площадки, рассчитываемой по формуле (20), представляется возможным построение условной диаграммы «напряжение-деформация», которую получают исследователи на прессах при усечено-клиновой форме разрушения. Для подтверждения достоверности расчёта запредельных кривых позаимствуем из книги [7] четыре экспериментальные диаграммы «напряжение – продольная деформация» (рис. 2).

Экспериментальная диаграмма 1 аппроксимируется расчетной диаграммой 2 при  $k_n = 60$  МПа,  $\mu = 1,0$ ,  $f = 0,02$ ,  $E = 5,1 \cdot 10^4$  МПа; диаграмма 3 – расчетной диаграммой 4 при  $k_n = 69$  МПа,  $\mu = 1,0$ ,  $f = 0,02$ ,  $E = 5,8 \cdot 10^3$  МПа; диаграмма 5 – расчетной диаграммой 6 при  $k_n = 59$  МПа,  $\mu = 1,0$ ,  $f = 0,02$ ,  $E = 5,9 \cdot 10^3$  МПа; диаграмма 7 – расчетной диаграммой 8 при  $k_n = 15$  МПа,  $\mu = 1,0$ ,  $f = 0,35$ ,  $E = 3,5 \cdot 10^3$  МПа. Сходимость расчётных данных с экспериментальными по пределу прочности составляет 82–90 %.

Сопоставление расчетных диаграмм с экспериментальными диаграммами «напряжение–продольная деформация», полученными при одноосном сжатии, убедительно свидетельствуют о высокой результативности предлагаемого метода расчета предела прочности и построения запредельных кривых разрушения горных пород.

### Выводы

Разработан метод построения диаграммы «нормальное напряжение–продольная деформация» для усечено-клиновой формы разрушения образцов горных пород с использованием трех экспериментальных их характеристик (предела сопротивляемости сдвигу, коэффициентов контактного и внутреннего трения), доступных для определения в лабораториях горных предприятий. Достоинство метода - доступность и оперативность получения результатов непосредственно на предприятиях.



**Рис. 2. Диаграмма «напряжение–продольная деформация»:** 1 – биотитовый плагиогранит (Южуралзолото); 3 – плагиогранит (Южуралзолото); 5 – диабаз (Братская ГЭС); 7 – коелганский мрамор; 2, 4, 6, 8 – соответствующие расчётные диаграммы

В основу метода положен усовершенствованный критерий прочности Кулона, дополненный параметрами контактного трения. Расчетные запредельные кривые разрушения образцов горных пород сопоставлены с экспериментальными диаграммами «нормальное напряжение–продольная деформация». Сходимость по пределу прочности образцов горных пород составила 85–90 %. Это позволяет нам рекомендовать метод для использования при определении предела прочности и построения диаграмм «напряжение–деформация» образцов горных пород и других целей, например, для определения несущей способности целиков на горных предприятиях. В перспективе планируется проверка метода при других формах разрушения: клиновой, диагональной, продольной и взрывоподобной.

### Библиографический список

1. Чанышев А.И., Абдулин И.М. Характеристики и соотношения на характеристиках на запредельной стадии деформирования горных пород / ФТПРПИ. – 2008. – № 5. – С. 27–41.
2. Чанышев А.И. Запредельное деформирование материалов при антиплоской деформации и его учёт в задаче о распространении прямолинейной полубесконечной трещины. Деформирование и разрушение материалов с дефектами и динамические явления в горных породах и выработках. – Симферополь: Таврический НУ им. В.И. Вернадского, 2010. - С. 349–354.
3. Панасюк В.В. Предельное равновесие хрупких тел с трещинами. – К.: Наукова думка, 1968. – 246 с.
4. Сторожев М.В., Попов Е.А. Теория обработки давлением. – М.: Машиностроение, 1977. – 423 с.
5. Васильев Д.Л. Метод расчета предела прочности на сжатие образцов горных пород при постоянстве контактного касательного напряжения. Зб. наук. пр. НГУ. – Дніпропетровськ: РВК НГУ, 2009. – № 33, т. 1. – С. 111–117.
6. Сопротивление материалов / И.А. Биргер, Р.Р. Мавлютов. – М.: Наука, 1986. – 560 с.
7. Прочность горных пород и устойчивость выработок на больших глубинах / А.Н. Ставрогин, А.Г. Протосеня. – М.: Недра, 1985. – 271 с.

Поступила 04.02.2013